## МОСКОВСКИЙ ГОСУДАРСТВЕННЫЙ УНИВЕРСИТЕТ

имени М.В. Ломоносова

На правах рукописи

Mary

#### МАКАРОВА Татьяна Михайловна

# ИССЛЕДОВАНИЕ АЛЛОСТЕРИЧЕСКИХ ЯВЛЕНИЙ В БАКТЕРИАЛЬНОЙ РИБОСОМЕ МЕТОДОМ МОЛЕКУЛЯРНО-ДИНАМИЧЕСКОГО МОДЕЛИРОВАНИЯ

Специальность 02.00.10 — биоорганическая химия

#### АВТОРЕФЕРАТ

диссертации на соискание учёной степени кандидата химических наук

Работа выполнена на кафедре химии природных соединений химического факультета Федерального государственного образовательного учреждения высшего образования "Московский Государственный Университет имени М.В. Ломоносова".

Научный Богданов Алексей Алексеевич,

руководитель: доктор химических наук, профессор, академик РАН

Официальные оппоненты:

Малыгин Алексей Аркадьевич,

доктор химических наук, доцент, Институт химической биологии и фундаментальной медицины СО РАН

Миронов Андрей Александрович,

доктор биологических наук, профессор, факультет биоинженерии и биоинформатики Московского Государственного Университета им. М.В. Ломоносова

Никулин Алексей Донатович,

доктор химических наук, заместитель директора Института

белка Российской академии наук, Пущино

Защита состоится 28 апреля 2020 г. в  $16^{00}$  часов на заседании диссертационного совета МГУ.02.03 Московского Государственного Университета имени М.В. Ломоносова по адресу: 119991, Москва, Ленинские горы, МГУ, д. 1, стр. 40, лабораторный корпус "А", аудитория 501.

E-mail: makarovatm@susu.ru

C диссертацией можно ознакомиться в Фундаментальной библиотеке МГУ имени М.В. Ломоносова и на сайте на сайте ИАС «ИСТИНА»: https://istina.msu.ru/dissertations/284164400/

Автореферат разослан « » марта 2020 года.

Учёный секретарь диссертационного совета, кандидат химических наук, доцент

Смирнова И.Г.

# Общая характеристика работы

#### Актуальность работы

Рибосома в современном представлении есть молекулярная машина, которая через последовательную смену состояний синтезирует все клеточные белки согласно нуклеотидной последовательности матричной РНК (мРНК). Переходы рибосомы между различными конформационными состояниями в ходе этого процесса осуществляются через скоординированные изменения структуры самой рибосомы и связанных с ней лигандов — транспортных РНК (тРНК), матричной РНК (мРНК) факторов трансляции, вновь синтезируемых пептидов в рибосомном туннеле (РТ). На определенные стадии этого процесса могут также влиять малые эффекторы, антибиотики, а также мутации или модификации нуклеотидных остатков рРНК, которые зачастую действуют аллостерически. Существует множество экспериментальных свидетельств того, что функциональные центры рибосомы регулируются из участков, удаленных на десятки ангстрем и иногда находящихся в другой молекуле или даже субъединице комплекса, то есть аллостерически.

Чтобы вникнуть в детали, лежащие в основе работы рибосомы, необходимо получить динамическую картину процесса трансляции на уровне отдельных остатков рибосомных РНК (рРНК) и белков и их нековалентных взаимодействий. Существующие экспериментальные методы предоставляют полезную и достаточно сложную картину связности тех или иных остатков на определенных стадиях работы рибосомы, тем не менее оставляя неясными структурные основы наблюдаемых явлений. При этом структурные методы исследования рибосомы — рентгеноструктурный анализ и криоэлектронная микроскопия — при анализе комплекса с молекулярной массой 2,5МD позволяют получить, как правило, усредненную и статичную структуру определенных состояний комплекса, зафиксированную при температурах жидкого азота. Этого далеко не достаточно, чтобы понять природу аллостерической регуляции работы рибосомы, поскольку этот тип регуляции подразумевает, что тот или иной макромолекулярный комплекс имеет несколько конформационных состояний, находящихся в динамическом равновесии, что и обеспечивает его изменчивость и восприимчивость к внешним сигналам.

Существующие проблемы на данном этапе способен в известной мере разрешить метод молекулярно-динамического моделирования (МД), способный *in silico* описать внутримолекулярную подвижность биополимеров в растворе при заданной

температуре. В последние годы этот метод стали неоднократно применять к такому сложному объекту, как рибосома. При этом были получены многообещающие результаты.

Транспортные РНК (тРНК), осуществляющие доставку аминокислот в пептидилтрансферазный центр (ПТЦ) для пептидилтрансферазной реакции (ПТР), в ходе выполнения своей функции последовательно занимают три канонических сайта рибосомы: А— (aminocyl), Р— (peptidyl) и Е— (exit) сайты. В А—сайте аминоацилированная тРНК (аа—тРНК) связывается непосредственно перед ПТР, в ходе которой вновь синтезированный пептид с Р—тРНК переместится на аминогруппу вновь привнесенного аминокислотного остатка на А—тРНК. В Е—сайт доставляется деацилированная тРНК из Р—сайта с тем, чтобы после этого покинуть рибосому.

Достоверно известно, что связывание тРНК в А-сайте подвергается аллостерическому воздействию эффекторов, связывающихся в самых разных функциональных участках рибосомы: это и тРНК в Е-сайте, и мутации в 23S рРНК бактериальной рибосомы, и, с высокой долей вероятности, пептиды и антибиотики, связывающиеся в РТ.

#### Степень разработанности проблемы

К настоящему моменту есть свидетельства того, что A– и E–тРНК являются антагонистами, что проявляется особенно четко на первых циклах элонгации. Механизм передачи аллостерического сигнала, обеспечивающего этот антагонизм до сих пор не ясен.

Ровно так же остается непонятным механизм многократно наблюдавшегося в различных экспериментах явления остановки пептидилтрансферазной реакции (ПТР), хотя есть обоснованные предположения, что он связан с изменением способности А-сайта к связыванию тех или иных аминоацил-тРНК (аа-тРНК).

#### Цели и задачи работы

Целью настоящей работы было полноатомное молекулярно-динамическое моделирование 70S рибосомы *E. coli* в различных функциональных состояниях, чтобы ответить на ряд фундаментальных вопросов о механизме ее функционирования. Для осуществления этой цели были поставлены следующие задачи:

1. Отработать протокол подготовки системы 70S рибосомы  $E.\ coli$  для молекулярно-динамического моделирования

- 2. Смоделировать поведение рибосомы в растворе при 310K в ее аллостерически антагонистичных состояниях: во-первых, связавшей тРНК в A/A- и P/P-сайтах (именуемое далее как AP-состояние), во-вторых, содержащей тРНК в P/P- и E/E-сайтах (здесь и далее PE-состояние)
- 3. Выявить основные различия в нековалентных взаимодействиях остатков РНК между описанными состояниями и предложить на основании этого механизм передачи аллостерического сигнала
- 4. Изучить влияние пептида в рибосомном туннеле (PT) на состояние Е-тРНК в молекулярно-динамической модели
- Изучить влияние мутаций A2531U и UU2492-3C аллостерических ингибиторов связывания A—тРНК — на систему в AP—состоянии и получить из этого общее представление о механизме инактивации A—сайта
- 6. Смоделировать комплексы рибосомы в AP-состоянии, содержащие антибиотики, связывающиеся в PT с целью выявить механизм их воздействия на A-сайт и ПТЦ

**Объект исследования** — молекулярно-динамическая модель 70S рибосомы *E. coli*.

**Предмет исследования** — конформационный и аллостерический ответ 70S рибосомы  $E.\ coli$  на связывание различных лигандов и определенные мутации в 23S pPHK.

#### Научная новизна

Данная диссертационная работа, посвященная молекулярно-динамическому моделированию 70S рибосомы *E. coli*, представляет собой оригинальное научное исследование. В ходе её выполнения впервые был разработан протокол предварительной оптимизации системы, позволяющий наблюдать воспроизводимые эффекты перераспределений нековалентных взаимодействий внутри целой рибосомы при воздействии тех или иных лигандов. Благодаря этому впервые было обнаружено взаимодействие А– и Е–сайтов большой субъединицы рибосомы через спираль Н93. Аналогично впервые было показано участие в аллостерической связи с А–сайтом межсубъединичных мостов В7а, В2а/d и В3. Впервые показано, что сайт связывания

C75 E-тРНК по результатам анализа траекторий молекулярной динамики оказался основным фактором воздействия на A-сайт.

Новизной отличаются и данные, полученные относительно А-сайта большой субъединицы рибосомы: МД-моделирование впервые позволило обнаружить его "закрытую" конформацию, стерически противоречащую связыванию в ней тРНК. Эту конформацию сайт занимает в РЕ-состоянии, значительно в ее сторону он смещается при мутациях A2531U и UU2492-3C, известных своей способностью препятствовать связыванию A-тPHK.

Наконец, это же переключение А–сайта было обнаружено и при связывании в рибосомном туннеле антибиотиков хлорамфеникола и эритромицина.

#### Теоретическая значимость работы

Было продемонстрировано, что характер аллостерических взаимосвязей в крупных молекулах РНК осуществляется, главным образом, через перераспределение нековалентных взаимодействий остатков с повышенной конформационной вариабельностью вне стабильных двуспиральных структур.

Это следует учитывать при дальнейшем моделировании аллостерических явлений в системах, содержащих РНК.

#### Практическая значимость работы

Переключения А-сайта, обнаруженные в ходе данной работы, носят универсальный характер и обеспечивают способность рибосомы останавливать пептидилтрансферазную реакцию самыми разнообразными аллостерическими эффекторами.

Поэтому полученные в данной работе результаты следует учитывать при дизайне новых антибиотиков, нацеленных на подавление пептидилтрансферазной активности бактериальных рибосом.

#### Методология диссертационного исследования

При проведении вычислительных экспериментов использовался метод молекулярнодинамического моделирования с помощью пакета GROMACS 5.1.4 и силового поля AMBER-ff14SB. Топологии для антибиотиков эритромицина хлорамфеникола были получены в силовом поле GAFF. Оптимизация геометрии и молекулярных электростатических потенциалов вновь параметризуемых остатков и молекул получались квантово-химическими расчетами методом Хартри-Фока с базисом 6-31G\* в пакетах FIREFLY и ПРИРОДА. Для первоначальной оценки положения вновь введенных лигандов (пептидов, хлорамфеникола) использовался метод докинга с помощью программы rDock на фрагменте рибосомы.

Анализ полученных траекторий осуществлялся как встроенными опциями пакета GROMACS, так и с помощью самостоятельно написанных программ на Python 2.7.

#### Личный вклад автора

Все вычислительные эксперименты выполнены лично автором. Оформление и обсуждение полученных результатов также выполнены лично автором.

#### Положения, выносимые на защиту

- 1. Построенная в данной работе молекулярно-динамическая модель хорошо согласуется с известными экспериментальными данными.
- 2. Антагонизм между A— и Е—сайтами большой субъединицы рибосомы осуществляется, главным образом, через воздействие, передающееся от С75 Е—тРНК на Н93, имеющую связи как с ПТЦ, так и с A—спиралью.
- А-сайт большой субъединицы рибосомы может находиться в одной из двух конформаций: "открытой" с выпетливанием Ф2580 по направлению к РТ или "закрытой", в которой стэкинг-взаимодействия между G2553-U2554-U2555 препятствуют связыванию тРНК.
- 4. Конформации межсубъединичных мостов B7a, B2a/d и B3 связаны с состоянием A-сайта, благодаря чему они участвуют в регуляции связывания с этим сайтом тРНК.
- 5. Переключение А-сайта между обнаруженными "открытой" и "закрытой" конформациями имеет универсальный характер, и, скорее всего, играет ключевую роль в остановке ПТР различными аллостерическими регуляторами.

#### Апробация работы

Результаты работы докладывались на 5 конгрессах и конференциях: The IX International Conference for Young Chemists "Mendeleev 2017" (Санкт-Петербург, Россия, 2015), International School-Seminar on Computer-Aided Molecular Design — устное сообщение (Казань, Россия, 2016), The X International Conference for Young Chemists

"Mendeleev 2017" (Санкт-Петербург, Россия, 2017), Molecular Simulation Studies in Material and Biological Sciences 2017, (Петергоф, Россия, Россия, 2017), 43<sup>th</sup> Congress of the Federation of European Biochemical Societies FEBS — устное сообщение (Прага, Чехия, 2018).

#### Публикации

Основные результаты диссертационной работы представлены в 5 публикациях в международных рецензируемых журналах, индексируемых в системах Web of Science и Scopus.

#### Структура и объем диссертации

Диссертация изложена на **125**-ти страницах машинописного текста и содержит **33** рисунка и **10** таблиц. Изложение работы включает в себя следующие разделы: Введение, Обзор литературы, Результаты и их обсуждение, Методы, Выводы и Список литературы, содержащий **173** наименования.

# Основное содержание работы

# Конформация A-сайта большой субъединицы рибосомы при связывании тРНК в A- и E-сайтах

На первом этапе исследования были получены молекулярно-динамические модели рибосомы во взаимно антагонистичных состояниях, а именно:

- ullet РЕ комплекс рибосомы с fMet-P-тРНК $^{fMet}$  и деацилированной E-тРНК $^{fMet}$
- ullet AP комплекс рибосомы с Ala–A–тРНК $^{Phe}$  и fMet–P–тРНК $^{fMet}$

Сокращенные названия "AP" и "PE" будут здесь и далее применяться как для обозначения моделируемых систем с соответствующими тРНК, так и для состояний рибосомы, по ходу элонгационного цикла связывающей тРНК в указанных позициях.

Для этих систем было рассчитано по 4 траектории по длиной 200 нс каждая. Дрейф системы по поверхности потенциальной энергии заканчивался для этих систем примерно к 100 нс расчета. Поэтому для анализа взаимодействий между отдельными остатками рРНК использовались последние 100 нс интервалы каждой из траекторий.

В получившихся стабильных участках траекторий в первую очередь были исследованы взаимодействия между остатками РНК и аминокислот — это водородные

Таблица 1. Встречаемости нековалентных взаимодействий в моделировании МД для АР и РЕ систем. АР (МД1) и РЕ (МД1) — первое моделирование систем с рибосомой в АР и РЕ состоянии, соответственно; АР (МД2) и РЕ (МД2) — моделирование систем, полученные из результатов предыдущего расчета после дополнительной оптимизации. Значения рассчитаны по 4-х незавимым траекториям для каждой системы и представлены как среднее значение ± стандартное отклонение.

Взаимодействие	АР (МД1)	АР (МД2)	РЕ (МД1)	РЕ (МД2)		
А-сайт						
U2554  U2555	11±19	7±14	86±2	68±28		
G2553  U2554	4±2	0±0	93±7	96±3		
(A-tRNA)C74  U2555	98±1	87±23	0±0	0±0		
(A-tRNA)C75/N4-HG2553/O6	95±2	92±4	0±0	0±0		
G2553/N2-H(A-tRNA)C75/O2	87±15	$81 \pm 17$	0±0	0±0		
(A-tRNA)C74/N4-HU2554/O2	$70\pm47$	$95 \pm 2$	0±0	0±0		
U1944  U1955	86±19	86±10	$25 \pm 29$	$29 \pm 34$		
G2557/N2-HU1944/O4	$67 \pm 54$	$72 \pm 48$	0±0	0±0		
Ψ2580 и его окружение						
Ψ2580/N1-HG2582/O6	35±15	32±23	0±0	0±0		
$\Psi 2580/{ m N}3$ -HG $2576/{ m N}7$	35±18	$45 \pm 23$	0±0	0±0		
$\Psi 2580/{ m N}3$ -HG $2508/{ m O}6$	0±0	0±0	$70 \pm 26$	86±15		
${ m G2508/N1\text{-}H\Psi2580/O4}$	0±0	0±0	92±5	$98.3 \pm 0.7$		
G2505/N2-HC2610/N3	2±3	0±0	$33\pm21$	$33\pm26$		
G2505/N1-HC2610/O2	0±0	$0.8 \pm 1.5$	23±18	28±39		
G2505/N2-HG2581/O6	32±23	53±20	4±4	9±13		
Н93 и ее окружение						
C1941  C1965	99.0±0.9	$98.7 \pm 0.5$	0±0	3±7		
C1941  C1942	80±15	89±7	$0.5 \pm 0.6$	$0.1 \pm 0.2$		
$C2591 \parallel G2592$	0±0	0±0	89±10	$66\pm45$		
C2591/N4-HG2603/O6	1±3	1±2	99±1	$94\pm12$		
G2603/N2-HC2591/O2	0±0	0±0	99±1	95±5		

связи и стэкинг–взаимодействия плоских ароматических групп. Наличие этих взаимодействий в траектории определялось исходя из геометрических параметров участвующих в них групп.

ССА-конец А-тРНК удерживается в рибосоме вершиной Н92 23S рРНК, иначе именуемой А-спиралью: 3'-концевая стопка остатков ССА тРНК встраивается в единую стопку со всей А-спиралью через стэкинг-взаимодействие с U2555 (рис. 1). При этом основания G2553 и U2554 удерживают водородными связями С75 и С74 тРНК, соответственно (см. табл. 1).

В случае же РЕ–состояния А–спираль находится в конформации, стерически исключающей связывание ССА–конца тРНК в А–сайте. Во-первых, в РЕ–состоянии вершина А–спирали из остатков 2553-2556 23S рРНК образует сплошную стопку оснований (рис. 1, В). Кроме того, стерическое противоречие возникло бы еще и с нуклеотидом G2583. И если смещение остатков 2583-2584 под действием А–тРНК уже

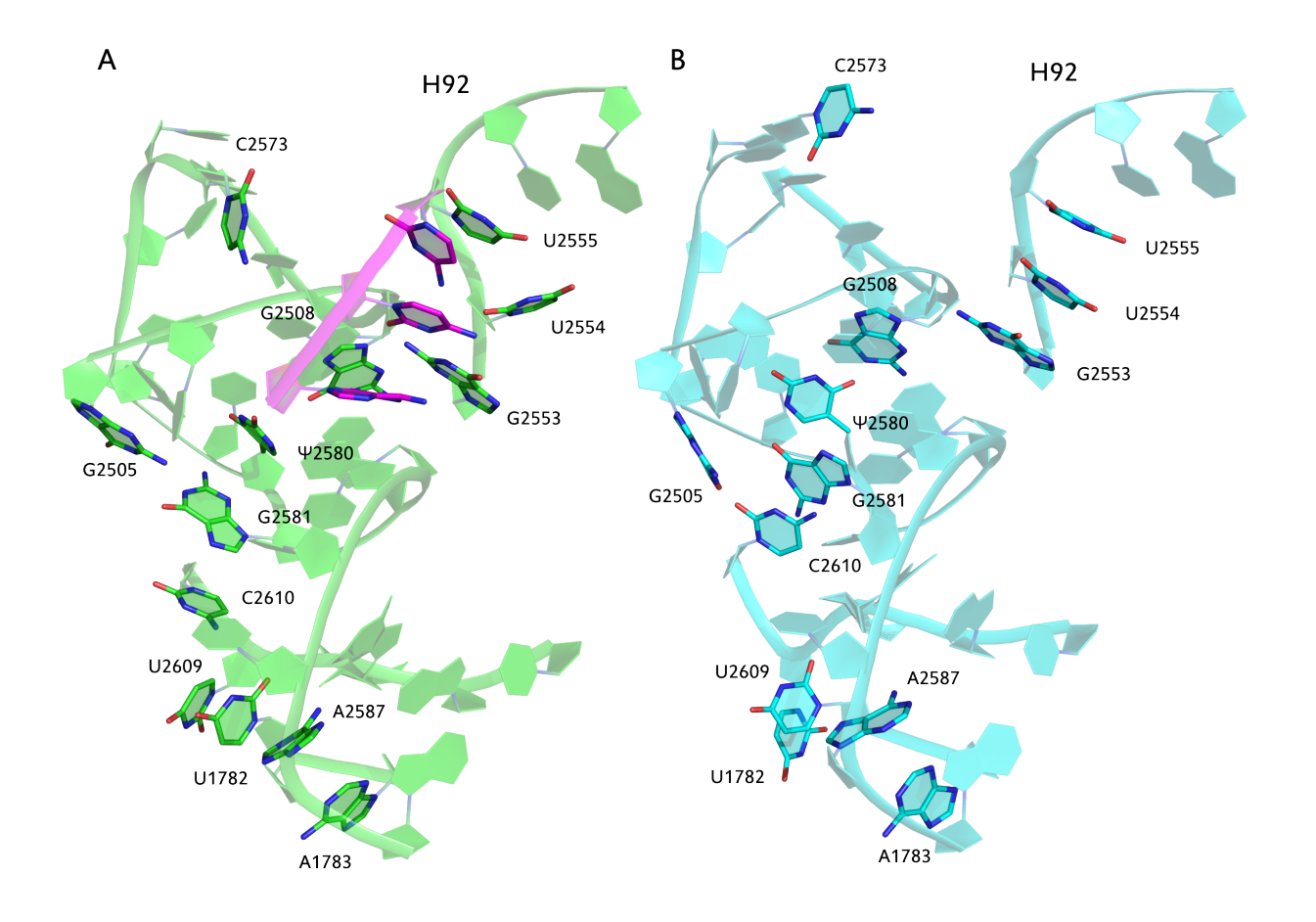


Рис. 1. Воздействие 3'-конца тРНК (выделен лиловым цветом) на А-сайт большой субъединицы рибосомы при связывании с ним. Изображены наиболее заселенные кластеры объединенных стабилизировавшихся участков траекторий молекулярной динамики (последние 100 из 200 нс каждой из 4 траекторий). А. АР-состояние. В. РЕ-состояние.

отмечалось ранее при анализе структурных данных, то образование "закрытой" для ССА-конца тРНК в конформации РЕ-состояния — это то, что было обнаружено только молекулярно-динамическим моделированием.

Смещение остатков 2583-2584 приводит к развороту плоскости основания G2581, которое формирует стэкинг—взаимодействия как с соседним остатком  $\Psi2580$ , так и с C2610, выходящим в просвет рибосомного туннеля (PT). Это приводит к перераспределению нековалентных взаимодействий в этой области. В частности, связывание A—тPHK выворачивает  $\Psi2580$  из внутриспирального положения по направлению к PT, где он формирует водородную связь с G2576, в то время как в PE—состоянии он находится в паре с G2508 в составе своей спирали (рис. 1, A и B). Также в результате этого смещения меняются связи азотистого основания G2505.

Кроме того, разворачивается пара оснований U2609 и U1782, находящихся друг с другом в стэкинг—взаимодействии, так, что они становятся связующим "мостом" между G2581- $\Psi$ 2580-C2610 и вершиной спирали H93. Остатки C2610, U2609, U1782 и

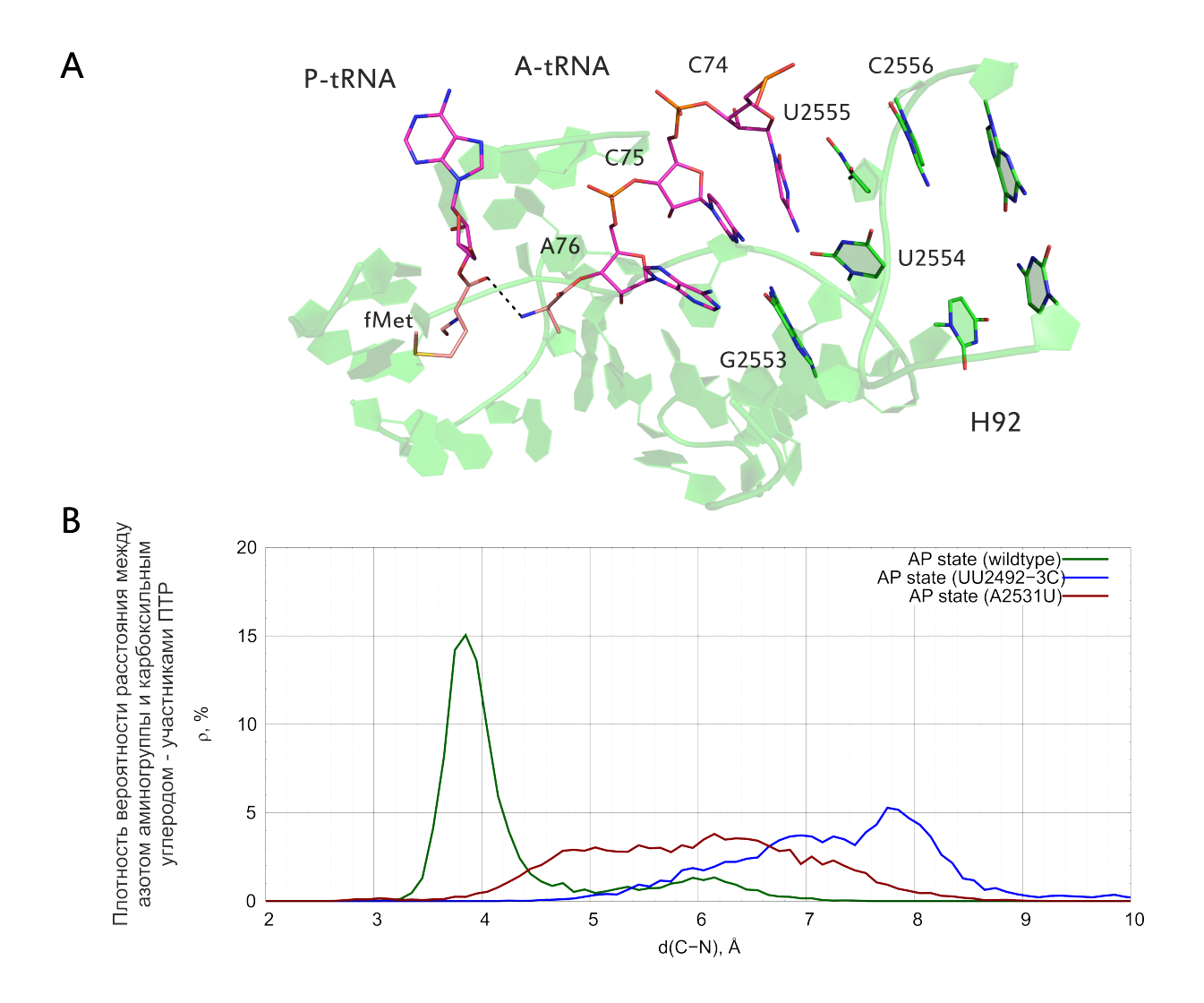


Рис. 2. А. Аминоацильный и пептидильный фрагмент в ПТЦ в АР-состоянии рибосомы. Водородная связь, наблюдаемая при моделировании МД между потенциальными участниками ПТР, отмечена пунктиром. Изображены наиболее заселенные кластеры объединенных стабилизировавшихся участков траекторий молекулярной динамики (последние 100 из 200 нс каждой из 4 траекторий). В. Плотность вероятности встречаемости определенной величины расстояния между атомами потенциальной новой пептидной связи в ПТЦ, согласно данным моделирования МД рибосомы в АР-состоянии, а также рибосомы с А- и Р-тРНК, содержащей мутацию A2531U или UU2492-3C.

A2587 из H93 известны как участники передачи сигнала из РТ в ПТЦ при связывании антибиотика в РТ и его взаимодействии с растущей пептидной цепью.

С противоположной стороны вершины А-спирали был обнаружен еще один любопытный конформационный переход, обеспечиваемый основаниями U1944 и U1955, выпетливащимися из H71. В АР-состоянии они находятся в стэкинг-взаимодействии друг с другом, и U1944 формирует водородную связь с G2557. В РЕ-состоянии U1944 предпочитает образовывать стэкинг-контакт с изменившим свое положение G2557 вместо прежнего контакта с U1955.

Полученные АР и РЕ состояния были проверены на стабильность: из объединенных

траекторий были извлечены кадры, наиболее близкие к центру наиболее населённого кластера остатков рРНК в ПТЦ и верхней части РТ; исходя из них были также рассчитаны по четыре 200 нс траектории. В новых траекториях потенциальная энергия, в ходе эволюции системы менялась слабо, что говорит о достижении системой минимума на суперповерхности потенциальной энергии. В новых полученных траекториях также сохранялись все взаимодействия остатков рРНК в ядре рибосомы — ПТЦ и верхней части РТ — ровно как в аллостерических путях, которые мы будем обсуждать ниже (табл. 1).

#### Связывание тРНК в Е-сайте 50S субъединицы рибосомы

Е-тРНК связывается с большой субъединицей рибосомы в РЕ-состоянии одновременно в нескольких локусах (рис. 3).

Наиболеее важным аллостерическим эффектором оказался сайт связывания С75: стопка четырех универсально консервативных аденинов — остатков А2432, А2433, А199 и А2424, связанная с еще одним универсально консервативным элементом — переходом между спиралями Н74 и Н75, куда также примыкает вершина Н93.

Кроме того, антикодоновая петля Е-тРНК через мРНК воздействует на прилежащую спираль h23 и стабилизирует ее. Эта спираль с противоположного от мРНК конца образует межсубъединичный мост B7a: A702 h23 16S рРНК формирует стэкинг—взаимодействие с A1848 23S рРНК. Этот мост при моделировании молекулярной динамики стабилен исключительно в РЕ—состоянии. В АР—состоянии обрузующие его межсубъединичные связи полностью расходятся, A1847 закрывается стэкинг-взаимодействием с A1848.

Кроме того, некоторые перегруппировки взаимодействий происходят и в межсубъединичных мостах B2a/d и B3, которые находятся довольно близко к области связывания A-тPHK в близком контакте с A-спиралью по графу нековалентных взаимодействий.

Многие из наблюдаемых в МД-моделировании явлений нашли свое подтверждение в ранее известных экспериментальных фактах:

• для  $\Psi2580$  — снижением частоты ПТР на порядок мутацией  $\Psi2580$ С, при которой невозможна стабилизация выпетленного состояния нуклеотида соответствующими водородными связями;

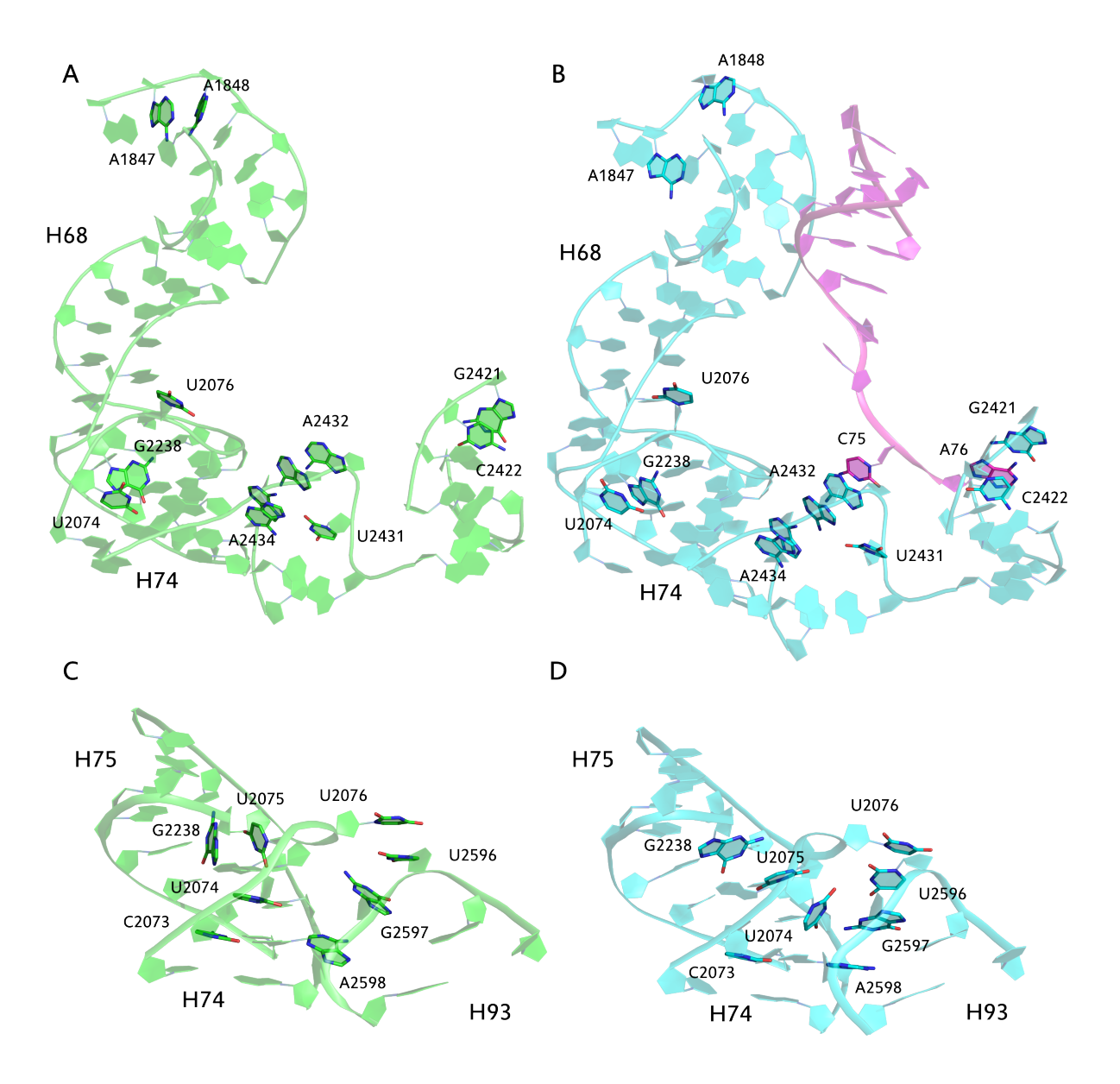


Рис. 3. Воздействие акцепторного стебля тРНК (выделен лиловым цветом) на Е-сайт большой субъединицы рибосомы при связывании с ним. Изображены наиболее заселенные кластеры объединенных стабилизировавшихся участков траекторий молекулярной динамики (последние 100 из 200 нс каждой из 4 траекторий). А. АР-состояние. В. РЕ-состояние. С. АР-состояние, район соединения H74, H75 и H93. D. РЕ-состояние, район соединения H74, H75 и H93.

- для межсубъединичного моста B7а экранированием нуклеотидов, образующих этот мост, от 2'-ацилирования при наличии тРНК в каноническом E/E-сайте;
- для H93 различием в профиле модицикаций нуклеотидов, участвующих в перераспределении связей, между AP- и PE-состояниями;
- для U1944 согласованной с G2557 заменой нуклеотида при переходе от прокариотической к эукариотической рибосоме, что говорит о функциональной важности связи между этими остатками.

#### Взаимодействие А- и Е- сайтов рибосомы

Изучение полного графа взаимодействий между остатками рРНК, а также конформационных различий на путях в этом графе позволило найти наиболее вероятного кандидата на роль передающего аллостерический сигнал элемента — это спираль Н93, связующая сайт прикрепления С75 Е—тРНК и А—спираль.

Как уже было сказано, С75 Е-тРНК значительно искажает структуру на стыке между спиралями Н74, Н75 и Н93 через стопку универсально консервативных содержащих адениновые основания нуклеотидов A2432-A199-A2433-A2434. В результате, U2074 выходит из спиральной структуры H74/H75 и образует пару с G2597 из вершины Н93. При этом стопка из пары оснований, G2238 и U2075, из состояния, перпендикулярного плоскостям стебля H74/H75, разворачивается в компланарное им.

Вследствие этого у спирали Н93 сильно отличается конформация в различных состояниях рибосомы: в AP состоянии она несколько надломлена в центре (нарушается стэкинг-взаимодействие между G2592 и C2591 и некоторые внутренние водородные связи спирали), в PE этого надлома нет. От этой спирали отходят различные короткие стопки внеспиральных оснований, причем в различных состояниях Н93 поддерживает связь с разными из них. Так, универсально консервативная стопка A1966-C1965-C1941-C1942-U1943, ведущая к H71, связана с H93 (и вообще связна) только в AP-состоянии, в PE-состоянии она разобщена в районе С1941. Напротив, только в PE-состоянии поддерживает стэкинг-взаимодействия с A1786 из вершины H65. (рис. 4 и табл. 2)).

Пара оснований U1944 и U1955, формирующих стабильное лишь в AP—состоянии стэкинг-взаимодействие, также выпетливаются из H71. Положение U1944 значительно изменяется при расхождении стопки A1966-C1965-C1941-C1942-U1943. В AP—положении U1944 вступил бы в стерический конфликт с остатками 2556-2557 23S pPHK из PE—структуры.

Интересно и то, что универсально консервативное основание A2602, находящееся между ССА-концами А– и Р–тРНК в ПТЦ и выпетливающееся из Н93, в РЕсостоянии смещается так, что он слабо взаимодействует с G2553, заграждая эту позицию для С75 А–тРНК.

Помимо H93, прослеживается и "второй контур" этой системы передачи конформационных изменений: это спирали H68-71, которые, кроме H69, ответвляющейся к мосту B2a/d, соединяют общим извилистым стеблем H75, мост B7a, короткие перемычки из стопок оснований, отходящих от H93, и, наконец A-спираль.

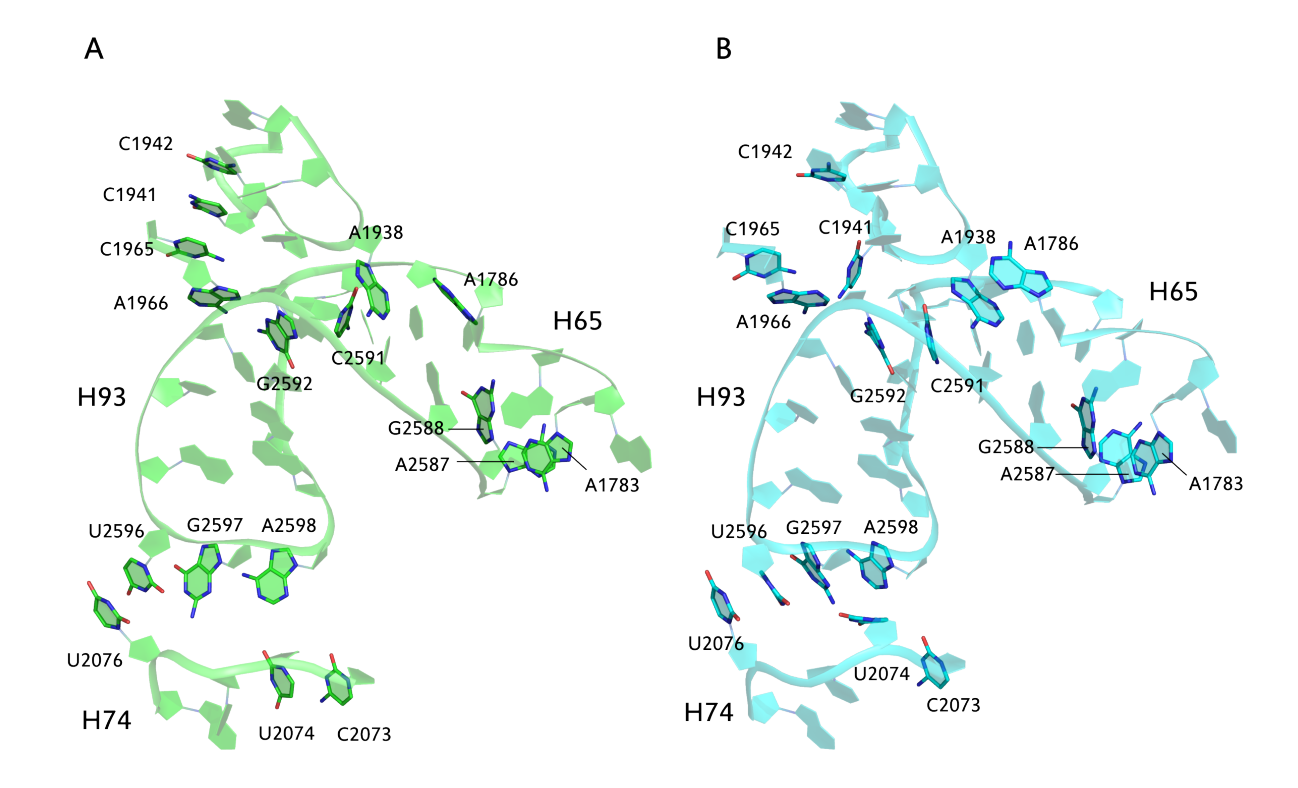


Рис. 4. Различия в конформации и внешних связях спирали H93, напрямую соединяющей сайт связывания C75 Е—тРНК и ПТЦ, наблюдаемые в молекулярно-динамическом моделировании AP— и PE—состояний рибосомы. Изображены наиболее заселенные кластеры объединенных стабилизировавшихся участков траекторий молекулярной динамики (последние 100 из 200 нс каждой из 4 траекторий). А. AP—состояние. В. PE—состояние.

Этот стебель напрямую соединяет мосты B7a и B2a/d. Внедрение A702 16S рРНК в H68 требует выпадения основания A1847 из спирали H68, что сдвигает весь стебель H68 по направлению от A—сайта примерно на 1Å. При этом стопка оснований G1839-A1927-A1928-G1929, соединяющая спирали H68 и H69, оказывается разорванной. Напротив, в AP—состоянии, связывание A—тРНК прижимает H69 к H68, чем уплотняет структуру последней, вынуждая A1847 находиться в стэкинге с A1848 и тем самым не оставляя места для внедрения A702 16S рРНК.

Наибоолее полно перегруппировки нековалентных взаимодействий в "аллостерическом ядре" перечисленны в табл. 3.

Через малую субъединицу стопка остатков 1517-1519 h45 16S pPHK "врезается" в район h44 посредством стэкинг-взаимодействия  ${\rm m^6}_2{\rm A1519}$  и A1499; в PE—состоянии связи в этой области h44 оказываются нетронуты, а G1517 скрепляет собой спирали h24 и h44 через образование водородных связей с G791 и G1496, соответственно.

Спираль h44, отходящая от B2a/d образует мост B3 с H71 23S pPHK. Здесь, на этом мосту, замыкаются пути, о которых говорили выше, регулирующие конформацию A-спирали. Так, в AP-состоянии, когда поддерживающая мост спираль

**Таблица 2.** Встречаемость нековалентных взаимодействий в районе спиралей H93 и H71 23S pPHK, полученные по результатам молекулярно-динамического моделирования. Значения рассчитаны по 4-х незавимым траекториям для каждой системы и представлены как среднее значение  $\pm$  стандартное отклонение.

Внутренняя структура Н93							
U2593  C2594	14±5	54±10	39±36	$37 \pm 24$	79±5	61±3	
C2601    G2603	97±2	$18 \pm 20$	40±40	$81 \pm 28$	$79 \pm 36$	28±10	
G2603/N2-HC2591/O2	0±0	$66 \pm 57$	$98.5 \pm 0.8$	$62 \pm 45$	$46 \pm 54$	95±5	
C2591/N4-HG2603/O6	1±2	$64 \pm 56$	94±5	$51 \pm 36$	$41 \pm 47$	94±12	
$C2591 \parallel G2592$	0±0	$34 \pm 36$	$30\pm34$	$0\pm0$	0±0	$66\pm45$	
G2588/N2-HC2606/O2	$98.6 \pm 0.7$	$96 \pm 3$	96±4	$89 \pm 2$	$38 \pm 32$	14±28	
C2606/N4-HG2588/O6	96±2	$87 \pm 15$	92±8	$93 \pm 4$	$64 \pm 22$	22±44	
	Внешние контакты Н93						
C1941  C1942	89±7	$56 \pm 45$	76±8	50±49	54±39	$0.1 \pm 0.2$	
C1941  C1965	99±1	$32 \pm 56$	88±18	$93 \pm 10$	$87 \pm 14$	3±7	
G2592/N2-HA1966/N7	$99.0 \pm 0.7$	$13 \pm 23$	0±0	$0\pm0$	0±0	0±0	
A1786  A1938	0±0	$49 \pm 2$	$50\pm23$	$12 \pm 16$	$2\pm3$	56±4	
G1770/N2-HA1786/N1	$61\pm13$	$81 \pm 6$	54±40	$20 \pm 29$	$20 \pm 23$	0±0	
A1785/N6-HU1778/O2	$98.3 \pm 0.9$	$98 \pm 2$	96±2	$78 \pm 33$	85±5	$24\pm35$	
U1778/N3-HA1785/N7	95±2	$96 \pm 2$	95±4	$85 \pm 25$	96±4	28±39	
G2588/N2-HA1785/N1	0±0	$0\pm0$	0±0	$1\pm2$	0±0	57±34	
A1783  A2587	$25\pm12$	$28 \pm 15$	0±0	$19 \pm 22$	57±6	0±0	
A1783  G2588	3±3	$14 \pm 19$	53±21	$28 \pm 25$	0±0	28±10	
Разворот А1937							
A1937/N6-HC1934/O2	0±0	$11\pm 2$	12±21	0±0	0±0	32±27	
A1937/N6-HG1964/N3	$30\pm21$	$0\pm0$	0±0	$51 \pm 27$	0±0	0±0	
G1964/N2-HA1937/N1	96±3	0±0	0±0	93±7	0±0	0±0	

 ${
m H71}$  сохраняет свою целостность, в мосту поддерживаются дополнительные связи между G1959 H71 23S pPHK и A1483 h44 pPHK

#### Мутации в 23S рРНК, снижающие сродство тРНК к A-сайту

Из литературы известны две мутации 23S pPHK, снижающие сродство A-сайта бактериальной рибосомы к тРНК. Одна из них — это замена аденина в A2531 на пиримидины (С или U), другая же мутация есть замена двух подряд идущих уридинов 2492 и 2493 на цитидин в спирали H89. Были получены по три независимые траектории длиной 200 нс для AP—систем с мутациями A2531U и UU2492-3C.

В полученных траекториях обе мутации действительно дестабилизировали характерные связи ССА-конца тРНК в А-сайте: дестабилизировался его сплошной стэкинг с А-спиралью, а сама А-спираль частично или полностью возвращалась в состояние, характерное для РЕ-систем, со сплошной стопкой G2553-U2554-U2555.

Таким образом, на состояние А-спирали способен влиять межспиральный контакт между H95 и H91 (A2531U), удаленный на 50Å или состояние участка H89 за 20Å от

Таблица 3. Перераспределение нековалентных взаимодействий в рибосоме при смене ее функционального состояния согласно данным молекулярно-динамического моделирования. Троеточие обозначение образование одной или нескольких водородных связей с остатком из первого столбца, двойная вертикальная черта ∥ — стэкинг-взаимодействие. Прописными буквами указаны названия остатков 23S рРНК, строчными — 16S рРНК. АР-состояние — рибосома дикого типа с А/А- и Р/Р-тРНК. Мутации — рибосомы с тем же набором тРНК с мутацией UU2492-3C или А2531U. РЕ—состояние — рибосома дикого типа с fMet−P/P− и E/E−тРНК. Пептиды в РТ — рибосома с пептидил−Р/Р и Е/Е−тРНК, с последовательностью пептидильных фрагментов fMFT или fMRFFR.

Остаток	АР-состояние	Мутации	Пептиды в РТ	РЕ-состояние
U2554	С74 (тРНК)	U2555	U2555	U2555
$\Psi 2580$	G2582	G2508	G2508	G2508
G2505	G2581	G2581, C2610	C2610	C2610
U1944	U1955, G2557	U1955	$\  \text{U}1955, \\ \  \text{G}2557 \ $	G2557
G2592	A1966	G2591	A1966	G2591
G2603	C2601	C2591	C2601, C2591	C2591
G2588	C2606 (H93)	C2606 (H93)	C2606 (H93)	A1785 (H65)
A1786	G1770 (H65)	A1938 (H93)	G1770 (H65)	A1938 (H93)
C1941	A1965	дестаб.   А1965	A1965	-
A1937	G1964 (H70)	C1934 (H70)	G1964 (H70)	C1934 (H70)
A1783	A2587 (H93)	G2588 (H93)	$\ A2587\ (H93)$	G2588 (H93)
A1785	U1778 (H65)	U1778 (H65)	U1778 (H65)	G2588 (H93)
A1848	HA1847 (H68)	a702 (h23)	$\ a702 \text{ (h23)}$	$\ a702 (h23)\ $
g1517	u1406 (h44)	u1406 (h44)	c1496 (h44)	c1496 (h44), g791 (h24)
$m_{2}^{6}a1519$	a1499 (h44)	g1497 (h44)	g1497 (h44)	g1497 (h44)
G1959	a1483 (h44),   C1958	a1483 (h44),   C1958	a1483 (h44),   C1958	-
a1483	G1959 (H71)	G1959 (H71)	G1959 (H71)	g1417 (h44)
U2074	C2073	C2073	$\ C2073$	G2597 (H93)
G2238	G2242, U2079	A2241/G2242	G2242, U2079	A2241

сайта (UU2492-3C). Механизмы этого воздействия, исходя из данных МД, следующие.

В случае A2531U изменение контактов между H91 и H95 разрывает контакт последней с A—спиралью (водородную связь A2564 и C2646). Это воздействие также упорядочивает связи G2574-C2512 и C2575-U2511 внутри H91, что удаляет C2573 от взаимодействий с C75 A—PHK. Все эти изменения, по сути, локально воспроизводят PE—состояние.

Эффект от мутации UU2492-3C — это исчезновение связей с участием остатков U2492 и U2493, так, что компланарные тройки U2492-U2460-G2490 и U2493-A2459-G2458 превращались в соответствующие пары. Сместившееся основание A2459 перестает взаимодействовать с C957 из H39 23S pPHK, так что данная мутация также

приводила к нарушению межспирального контакта. Эффект от расхождения контакта между Н39 и Н89 распространяется в том числе через основание С961, которое вместо общей стопки с А983 и оторванности от Н89 (как в АР–состоянии), поддерживает стопку С961-А2031-Ст2498-С2499 (как в РЕ–состоянии), что происходит совсем недалеко от ПТЦ.

Смещение в сторону PE-состояния при введении мутаций затрагивало и многие другие, ранее обсуждаемые, участки рРНК, например, спираль H93 и ее связи или  $\Psi2580$  (табл. 3). Для оценки этого смещения была выявлена главная компонента потенциальных энергий взаимодействия между азотистыми основаниями остатков, участвующих в перераспределении связей. Проекции на главную компоненту, полученную на объединенных данных AP- и PE-траекторий, для рибосом с мутациями A2531U и UU2492-3C, оказались равны  $37\pm19$  и  $27\pm20$ , соответственно (с учетом стандартного отклонения). Эти значения для AP-состояния —  $261\pm19$ , а для PE —  $-233\pm20$ . Мутации, таким образом, даже при наличии A-тPHK в системе, примерно на половину смещают ее конформационное состояние в сторону такового при связывании E-тPHK.

#### Влияние пептидов в РТ на Е-тРНК

Исследования взаимодействий Е-тРНК с другими тРНК (Chen, C. et al., 2011) показали, что вновь синтезированная пептидная цепь в зависимости от длины и состава способна снижать афинность Е-сайта рибосомы к тРНК. Поэтому для изучения возможного механизма влияния пептида в РТ на тРНК в Е-сайте были выбраны пептиды fMet-Phe-Thr (fMFT) fMRFFR, о способности которых вызывать спонтанную диссоциацию Е-тРНК достоверно известно.

Оба пептида взаимодействовали с остатками U2585 и U2586, непосредственно прилегающими к H93, расстояние до которых формилметионинового фрагмента (связанного с P-тPHK в ранее моделируемом PE-состоянии) было достаточно большим.

Это оказывало влияние на сайт связывания C75 E-тPHK: основания U2074 и G2238 образовывали связи, воспроизводящие AP-состояние. В результате, универсально консервативная стопка A2432-A199-A2433-A2434 E-сайта смещалась примерно на половину расстояния между основаниями в стэкинг-взаимодействии, что сказалось на прочности связей, удерживающих E-тPHK, чье связывание как раз зависит

Рис. 5. Эритромицин.

Рис. 6. Хлорамфеникол.

от правильной взаимной ориентации всех ее сайтов связывания в пространстве. Положение Е-тРНК в наведенном АР-подобном состоянии рибосомы оказалось настолько искажено, что разрывало внутренние связи самой Е-тРНК, самый яркий пример которого — это расхождение уотсон-криковской пары G20 и C57 на "локте" тРНК в области его стэкинг-контактов с протуберанцем L1. По направлению к А-сайту, антагонисту Е-сайта, локальное восстановление РЕ-состояния способствовало восстановлению целостности стопки A1966-C1965-C1941-C1942-U1943, вершины спирали H71 и межсубъединичного моста B3 3.

# Предположительный механизм воздействия антибиотиков, связывающихся в ${\rm PT},$ на ${\rm A-ca\"{u}}{\rm T}$

Найденные в ходе моделирования МД переключения конформации А-сайта очевидно могут быть задействованы в аллостерической остановке синтеза пептидной цепи. Существует множество свидетельств того, что верхняя часть РТ непосредственно участвует в подобной регуляции:некоторые антибиотики, с ней связывающиеся, останавливают трансляцию через определенное количество циклов элонгации.

Были исследованы два антибиотика, связывающихся в РТ в различных сайтах: эритромицин (рис. 5) и хлорамфеникол (рис. 6).

Лактонное кольцо эритромицина встраивается между остатками A2058 и A2059 23S pPHK, углеводный заместитель дезозамин фиксирует положение антибиотика водородными связями с A2058, а кладиноза, согласно структурным данным, свободно располагается в просвете туннеля. Однако, удаление этого углеводного остатка, равно как и мутации по остаткам G2505 и C2610, не взаимодействующим с эритромицином

**Таблица 4.** Встречаемости нековалентных взаимодействий в молекулярно-динамического моделировании систем рибосомы как в каноническом в AP-состоянии, так с добавлением антибиотиков эритромицина (Ery) и хлорамфеникола (Clm) в сравнении с PE-состоянием. Значения встречаемостей представлены как среднее значение  $\pm$  стандартное отклонение.

Взаимодействие	AP-	AP	AP	PE-		
	состояние	(Ery)	(Clm)	состояние		
A-сайт						
Ψ2580/N3-HG2508/O6	0±0	89±9	92±2	86±15		
$G2508/N1-H\Psi2580/O4$	0±0	$0\pm0$	24±4	$98.3 \pm 0.7$		
$\Psi 2580/\text{N}1\text{-HG}2582/\text{O}6$	32±23	$0\pm0$	0±0	0±0		
$G2509 \parallel \Psi 2580$	0±0	$65 \pm 21$	$16\pm10$	43±24		
G2505/N2-HC2610/N3	0±0	$2\pm2$	$26 \pm 37$	$33\pm26$		
G2505/N1-HC2610/O2	0±0	$1\pm1$	$20\pm29$	28±39		
G2582/N2-HG2553/N3	1±2	$71\pm4$	$47 \pm 25$	52±25		
G2553  U2554	0±0	$66 \pm 48$	$72 \pm 34$	96±3		
U2554  U2555	$7 \pm 14$	$61 \pm 44$	$30\pm18$	68±28		
(tRNA)C74  U2555	95±3	$38 \pm 52$	63±2	0±0		
H93						
C1941  C1942	89±7	$37 \pm 10$	53±3	0.1±0.2		
C1941  C1965	99±1	$58 \pm 50$	51±67	3±7		
A1937/N6-HC1934/O2	0±0	$0\pm0$	$27 \pm 24$	$32\pm27$		
G1964/N2-HA1937/N1	96±3	$0\pm0$	0±0	0±0		
A1783  A2587	25±12	$0\pm0$	0±0	0±0		
A1783  G2588	3±3	$11\pm 9$	$38\pm17$	28±10		
Мост В7а и Е–сайт						
A1848  a702	0.1±0.2	$37 \pm 22$	48±4	51±20		
A1847  A1848	$45\pm10$	$18 \pm 30$	0±0	5±8		
C2073  U2074	$99.4 \pm 0.3$	$33 \pm 12$	72±21	0±0		
A2241/N6-HG2238/N7	0±0	$26 \pm 46$	61±40	82±10		
G2238/N1-HG2242/O6	88±6	$61 \pm 53$	0±0	0±0		
G2238/N2-HU2079/O4	84±13	$49 \pm 43$	0±0	0±0		

согласно структурным данным, но наиболее близко расположенным к кладинозе, предотвращают взаимодействие антибиотика со стоп–пептидом ermBL.

В траекториях МД остаток кладинозы эритромицина стерически препятствует C2610 занимать то же положение, что и в AP-состоянии — сильно смещенное от взаимодействия с G2505 в сторону связанной стэкинг-взаимодействием пары U2609-U1782. Это возвращает  $\Psi2580$  во внутриспиральное PE-подобное положение. Разворот  $\Psi2580$  приподнимает стопку 2582-2584, и это стерически смещает A76 A-тPHK из каноничного положения, из-за чего вся CCA-стопка TPHK может выйти из общего стэкинга с A-спиралью.

Правда, выход ССА-конца A-тРНК из сайта происходит не во всех кадрах траекторий с эритромицином, а примерно в половине, хотя переключение основания

Ψ2580 происходило во всех случаях (табл. 4). Вероятно, влияние стерических факторов в рибосомном туннеле усиливается при прохождении вновь синтезированной цепи вдоль по туннелю мимо связавшегося антибиотика.

Аллостерическое влияние антибиотика хлорамфеникола было исследовано не в том положении на рибосоме, которое чаще всего встречается в структурных данных, а в найденной нами методами докинга и молекулярной динамики позе, в которой антибиотик располагается между  $\Psi 2504$  и U2506 и образует с ними стэкинг-контакты. Такое расположение антибиотика значительно лучше объясняет биохимические данные и не противоречит, в отличие от ранее известной позы, ПТР на первых циклах элонгации. Впрочем, здесь рассмотрим аллостерическое влияние хлорамфеникола в найденном положении на другие участки рибосомы.

Оно оказалось во многом похоже на воздействие эритромицина: изменение положения  $\Psi2504$  и U2506 сказалось на соединяющем их нуклеотиде G2505, что точно так же возвращало псевдоуридин  $\Psi2580$  во внутриспиральное положение, характерное для PE—состояния. Это положение способствовало возвращению в PE—подобное состояние и A—спирали в части кадров траектории (табл. 4).

Влияние исследованных антибиотиков в РТ также простирается далеко за пределы самого РТ. Например, они могут восстанавливать мост В7а, характерный для РЕсостояния, или же смещать связи внутри и вокруг спирали Н93 (табл. 4), что вновь говорит о глобальном характере аллостерических явлений в рибосоме.

## Выводы

- 1. Построенная в данной работе молекулярно-динамическая модель хорошо согласуется с известными экспериментальными данными.
- 2. Антагонизм между A— и Е—сайтами большой субъединицы рибосомы осуществляется, главным образом, через воздействие, передающееся от С75 Е—тРНК на Н93, имеющую связи как с ПТЦ, так и с A—спиралью.
- 3. А—сайт большой субъединицы рибосомы может находиться в одной из двух конформаций: "открытой" с выпетливанием  $\Psi2580$  по направлению к РТ или "закрытой", в которой стэкинг—взаимодействия между G2553-U2554-U2555 препятствуют связыванию тРНК.
- 4. Конформации межсубъединичных мостов B7a, B2a/d и B3 связаны с состоянием A-сайта, благодаря чему они участвуют в регуляции связывания с этим сайтом тРНК.
- 5. Переключение А-сайта между обнаруженными "открытой" и "закрытой" конформациями имеет универсальный характер, и, скорее всего, играет ключевую роль в остановке ПТР различными аллостерическими регуляторами.

# Список работ, опубликованных по теме диссертации

Статьи в рецензируемых научных изданиях, индексируемых в базах данных Web of Science и Scopus, рекомендованных для защиты в диссертационном совете МГУ.02.03 по специальности 02.00.10 — биоорганическая химия (химические науки):

- Shishkina A. V., Makarova, T. M., Tereshchenkov A. G., Makarov G. I., Korshunova G. A., Bogdanov A. A. Modeling interactions of erythromycin derivatives with ribosomes // Biochemistry (Moscow). — 2015. — Vol. 80, No. 11. — P. 1500-1507. IF=1,886.
- Makarov G. I., Makarova, T. M., Sumbatyan N. V., Bogdanov A. A. Investigation of ribosomes using molecular dynamics simulation methods // Biochemistry (Moscow). 2016. Vol. 81, No. 13. P. 1579-1588. IF = 1,886.
- 3. *Makarova, T. M.*, *Bogdanov A. A.* The ribosome as an allosterically regulated molecular machine // Biochemistry (Moscow). 2017. Vol. 82, No. 13. P. 1557-1571. IF = 1,886.
- 4. Makarov G. I., Makarova, T. M. A noncanonical binding site of chloramphenical revealed via molecular dynamics simulations // Biochimica et Biophysica Acta (BBA)
   General Subjects. 2018. Vol. 1862, No. 12. P. 2940-2947. IF = 3,681.
- Makarova, T. M., Bogdanov A. A. Allosteric regulation of the ribosomal A site revealed by molecular dynamics simulations // Biochimie. — 2019. — Vol. 167. — P. 179-186. IF = 3,362.

### Тезисы докладов и материалы конференций

- Makarova, T. Molecular dynamics study of allosteric signal transmission between E-site and elongation factor G binding site // IX International conference of young scientists on chemistry "Mendeleev 2015" Book of abstracts. — Saint Petersburg State University, 2015. — P. 261.
- Makarova, T. Molecular-dynamics study of allostric pathways in bacterial ribosome // International School-Seminar on Computer-Aided Molecular Design Book of abstracts. — Kazan, Russia, 2016. — P. 13.

- 3. Makarov G., Makarova, T.M., Bogdanov A. Investigation of nascent peptide exit tunnel by means of molecular dynamics simulations // International symposium "Molecular Simulation Studies in Material and Biological Sciences", St. Petersburg, September 7-10, 2017. St.Petersburg: Petersburg Nuclear Physics Institute (PNPI) of the National Research Center "Kurchatov Institute", 2017. P. 9-10.
- Makarova, T. Allosteric regulation of tRNAs binding to the ribosome revealed via molecular dynamics simulations // X International conference of young scientists on chemistry "Mendeleev 2017" Book of abstracts. — Saint Petersburg State University, 2017. — P. 382.
- Makarova, T. Allosteric switches in bacterial ribosome revealed via moleculardynamics simulations // FEBS Open Bio. Vol. 8. — Prague, Czech Republic, 2018. — P. 25. — (ShT.09-1).